

$k_n = \frac{h_1}{h_2}$  между толщинами составных слоев. Сплошные кривые 1—3 отвечают значениям  $k_n = 1; 5; 1/5$ . Штриховыми линиями показаны зависимости этих же частот, найденных в точной постановке, т. е. из уравнения

$$c_2 \sin(\omega h_2 c_2^{-1}) \cos(\omega h_1 c_1^{-1}) + c_1 \sin(\omega h_1 c_1^{-1}) \cos(\omega h_2 c_2^{-1}) = 0.$$

Как видно из рисунков, соответствующие точные и приближенные значения собственных частот отличаются не более чем на 15%.

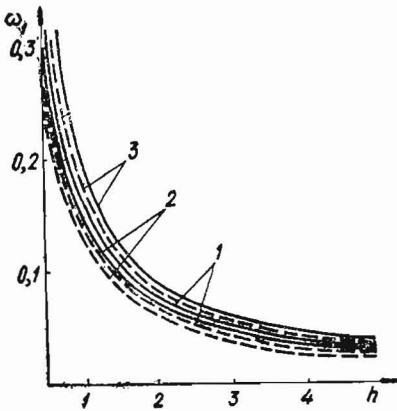


Рис. 1.

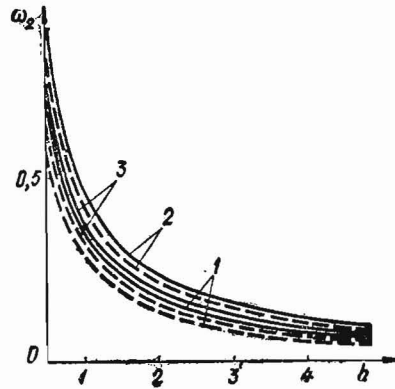


Рис. 2.

1. Бурак Я. И., Гачкевич А. Р., Мусий Р. С. Определение динамических напряжений в биметаллическом слое при нестационарном тепловом и силовом воздействии. — В кн.: Неклассические проблемы механики композиционных материалов и конструкций из них: Тез. докл. II Всесоюз. научн.-техн. семинара. Киев: Наук. думка, 1984, с. 8—9.
2. Гачкевич А. Р., Мусий Р. С. К определению температурных и механических полей в электропроводных пластинах при воздействии внешнего электромагнитного поля. — Мат. методы и физ.-мех. поля, 1984, вып. 20, с. 49—54.
3. Гачкевич А. Р., Мусий Р. С. Решение двумерных задач несвязанной динамической термоупругости тел с плоскопараллельными границами. — В кн.: Дифференциальные уравнения и их приложения: Вест. Льв. политехн. ин-та, Львов, 1984, с. 39—54. Рукопись деп. в УкрНИИТИ, № 19—27 УК—84 Деп.
4. Коваленко А. Д. Термоупругость. — Киев: Вища шк., 1975.—216 с.
5. Подстригач Я. С., Чернуха Ю. А. Об уравнениях теплопроводности для тонкостенных элементов конструкций. — Мат. методы и физ.-мех. поля, 1975, вып. 2, с. 54—59.

Львовский политехнический ин-т

Получено 05.06.84

УДК 539.377

Я. И. Бурак

#### КРИТЕРИИ ОПТИМИЗАЦИИ НАПРЯЖЕННОГО СОСТОЯНИЯ ТЕРМОУПРУГИХ ТЕЛ

Одним из важных этапов математической постановки задач оптимизации в механических системах является выбор критериев оптимизации. Поскольку термоупругие тела относятся к системам с распределенными параметрами, то в качестве критериев оптимизации напряженно-деформированного состояния обычно принимают функциональные критерии вида

$$\mathcal{K} = \int_0^{\tau_0} \int_{(V)} W dV d\tau, \quad (1)$$

где  $W$  — плотность локального критерия оптимизации;  $0 \leq \tau \leq \tau_0$  — рассматриваемый промежуток времени;  $(V)$  — область, занимаемая телом.

В задачах оптимизации локального нагрева оболочек и пластин, когда требуется обеспечить низкий уровень напряжений или непереход в область упруго-пластического деформирования, в качестве  $W$  принимают соответственно плотность энергии упругой деформации и плотность энергии формоизменения [1—3].

При решении задач оптимизации с целью обеспечения локальных параметров качества фиксируют область изменения характеристик напряженно-деформированного состояния, пределы допустимого изменения функции  $W$ , а также используют другого вида ограничения, заданные в виде равенств или неравенств. Для обеспечения оптимизации наиболее напряженных участков тела можно эффективно использовать функцию веса критерия по координатам и времени  $\varphi = \varphi(\vec{r}, \tau)$  ( $\vec{r}$  — радиус-вектор произвольной точки области  $(V)$ ). При такой постановке исходный функционал (1) принимает вид

$$\mathcal{H} = \int_0^{\tau_0} \int_V \varphi W dV d\tau. \quad (2)$$

Ниже рассматриваются некоторые общие вопросы построения функциональных критериев оптимизации напряженного состояния вида (1) или (2), в частности, с целью более полного учета требований локальной оптимизации.

1. Пусть термоупругое тело, отнесенное к криволинейной системе координат  $\{x^i\}$ , находится в условиях нестационарного нагрева и подвергается воздействию внешних силовых нагрузок. В пределах линейной теории напряженно-деформированное состояние в каждый момент времени  $\tau$  характеризуется [1, 4, 5] тензором напряжений  $\hat{\sigma} = \sigma^{ij} \vec{\mathcal{E}}_i \vec{\mathcal{E}}_j$ , тензором полной деформации  $\hat{e} = e_{ij} \vec{\mathcal{E}}^i \vec{\mathcal{E}}^j$ , тензором упругой деформации  $\hat{e}^{(e)} = e_{ij}^{(e)} \vec{\mathcal{E}}^i \vec{\mathcal{E}}^j$  и тензором тепловой деформации  $\hat{e}^{(t)} = e_{ij}^{(t)} \vec{\mathcal{E}}^i \vec{\mathcal{E}}^j$ . Здесь  $\vec{\mathcal{E}}_i = \frac{\partial}{\partial x^i} \vec{r}$ ;  $\{\vec{\mathcal{E}}_i\}$ ,  $\{\vec{\mathcal{E}}^i\}$  ( $i = \overline{1, 3}$ ) — ковариантные и контравариантные базисные векторы. Компоненты  $e_{ij}$  тензора полной деформации  $\hat{e}$ , которые связаны с вектором перемещений  $\vec{u} = \vec{u}(\vec{r}, \tau)$  соотношениями Коши

$$e_{ij} = \frac{1}{2} \left( \frac{\partial u^i}{\partial x^j} \vec{\mathcal{E}}_i + \frac{\partial u^j}{\partial x^i} \vec{\mathcal{E}}_j \right), \quad (3)$$

представляются суммой упругой  $e_{ij}^{(e)}$  и тепловой  $e_{ij}^{(t)}$  составляющих, т. е.

$$e_{ij} = e_{ij}^{(e)} + e_{ij}^{(t)}. \quad (4)$$

Для изотропных термоупругих тел компоненты тензора напряжений  $\sigma^{ij}$  связаны с компонентами упругой деформации  $e_{ij}^{(e)}$  уравнениями состояния

$$\sigma^{ij} = \left( K - \frac{2}{3} G \right) e_{(e)} g^{ij} + 2G e_{(e)}^{ij}, \quad (5)$$

где  $K, G$  — упругие характеристики материала;  $e_{(e)} = e_{(e)i}^i$ ;  $e_{(e)j}^i, e_{(e)}^{ij}$  — смешанные и контравариантные компоненты тензора упругой деформации  $\hat{e}^{(e)}$ ;  $g^{ij}$  — контравариантные компоненты метрического тензора  $\hat{g}$ . Компоненты  $e_{ij}^{(t)}$  тензора тепловой деформации определяются через температуру  $T$  соотношениями

$$e_{ij}^{(t)} = \alpha (T - T_0) g_{ij}. \quad (6)$$

Здесь  $\alpha$  — линейный коэффициент теплового расширения;  $T_0$  — начальная температура тела.

В задачах оптимизации напряженного состояния функция  $W$  — локальный критерий оптимизации — может быть представлена в виде

$$W = W(\hat{\sigma}). \quad (7)$$

Для изотропных тел  $W$  является функцией скалярных инвариантов тензора  $\hat{\sigma}$ . В силу симметрии тензора напряжений  $\hat{\sigma}$  существуют три независимых скалярных инварианта:

$$I_1 = \sigma^i_i, I_2 = \sigma^i_j \sigma^j_i, I_3 = \sigma^i_j \sigma^j_k \sigma^k_i, \quad (8)$$

т. е.

$$W = W(\{I_k\}), \quad k = \overline{1, 3}. \quad (9)$$

В тех задачах, в которых требуется обеспечить в теле напряженное состояние, оптимально близкое к заданному, в качестве локального критерия оптимальности естественно принять

$$W = W(\hat{\sigma}^*), \quad \hat{\sigma}^* = \hat{\sigma} - \hat{\sigma}^0, \quad (10)$$

где  $\hat{\sigma}^0$  — наперед заданный тензор напряжений. В соответствии с (7) и (8) можно записать

$$W = W(\{I_k^*\}), \quad k = \overline{1, 3}, \quad (11)$$

$$I_1^* = \sigma^i_i, \quad I_2^* = \sigma^i_j \sigma^j_i, \quad I_3^* = \sigma^i_j \sigma^j_k \sigma^k_i, \quad \sigma^{ij} \equiv \sigma^{ij} - \sigma_0^{ij}.$$

При сопоставлении напряженных состояний по энергетической норме (энергетические критерии) функцию  $W$  следует представлять в виде

$$W = W(\widehat{\sigma}^{\widehat{e}^{(e)}}). \quad (12)$$

Тензор  $\widehat{\sigma}^{\widehat{e}^{(e)}} = \sigma^{ij} e_{ki}^{(e)} \widehat{\partial}_i \widehat{\partial}_j \widehat{\partial}_k \widehat{\partial}_l$  имеет два независимых скалярных инварианта второго порядка, а именно:

$$I_1^{(e)} = \sigma^i_i e_{ij}^{(e)}, \quad I_2^{(e)} = \sigma^i_j e_{ij}^{(e)}, \quad (13)$$

которые пропорциональны плотности энергии упругого изменения объема и энергии упругой деформации.

Если требуется оптимизировать только девiatorную составляющую напряженного состояния, то локальный критерий должен зависеть от тензора  $\widehat{\sigma}'^{\widehat{e}^{(e)'}}$ . Этот тензор имеет скалярный инвариант второго порядка  $I' = \sigma'^i_j e'^j_{(e) i}$ , пропорциональный энергии формоизменения. Здесь  $\widehat{\partial}' = \widehat{\sigma} - \sigma^i_i \widehat{E}/3$  — девiator тензора напряжений;  $e'^{(e)} = \widehat{e}^{(e)} - e^i_{(e) i} \widehat{E}/3$  — девiator тензора упругих деформаций;  $\widehat{E}$  — единичный тензор.

С использованием уравнений состояния (5) энергетические критерии вида (12) могут быть представлены как функции от тензора напряжений и упругих характеристик материала модели термоупругого тела.

2. Для решения задач оптимизации, в которых требуется максимально понизить уровень напряженного состояния или обеспечить наименьшее по отклонениям приближение напряженного состояния к заданному, введем в рассмотрение функциональный критерий вида

$$\mathcal{H}_* = \int_0^{\tau_0} \int_{(V)} (\varphi W + \varphi_* W_*) dV d\tau, \quad (14)$$

где  $W_*$  — локальная мера изменяемости напряженного состояния по координатам и времени;  $\varphi_* = \varphi_*(\vec{r}, \tau)$  — функция веса критерия  $W_*$ .

В общем случае функция  $W_*$  может быть представлена так:

$$W_* = W_* \left( \vec{\nabla} \hat{\sigma}, \vec{\nabla} \times \hat{\sigma}, \frac{d}{d\tau} \hat{\sigma}; \vec{\nabla} \vec{\nabla} \hat{\sigma}, \vec{\nabla} \times \hat{\sigma} \times \vec{\nabla}, \quad (15)$$

$$\frac{d}{d\tau} \vec{\nabla} \hat{\sigma}, \frac{d}{d\tau} (\vec{\nabla} \times \hat{\sigma}), \frac{d^2}{d\tau^2} \hat{\sigma}, \dots,$$

где  $\vec{\nabla} = \widehat{\partial}_i \frac{\partial}{\partial x^i}$  — оператор Гамильтона;  $\frac{\partial}{\partial \tau}$  — субстанциональная производная по времени.

Для изотропных тел функция  $W_*$  может быть записана как функция от скалярных инвариантов совокупности указанных тензоров. Если учитывать только тензоры  $\vec{\nabla}\hat{\sigma}$ ,  $\vec{\nabla}\times\hat{\sigma}$  и  $\frac{d}{d\tau}\hat{\sigma}$ , пренебечь различием между субстанциональными и локальными производными по времени ( $\frac{d\hat{\sigma}}{d\tau} \approx \frac{\partial\hat{\sigma}}{\partial\tau}$ ) и ограничиться скалярными инвариантами не выше второго порядка, то функция  $W_*$  является функцией следующих инвариантов:

$$\begin{aligned} I_1^{(1)} &= \mu_i^{jk} \mu^i{}_{jk}, & I_2^{(1)} &= \mu_i^{jk} \mu_{kj}{}^i, & I_3^{(1)} &= \mu_i^{ik} \mu_k{}^j{}_j, \\ I_4^{(1)} &= \mu_i^{ik} \mu_j{}^j{}_k, & I_5^{(1)} &= \mu_i{}^i{}_j \mu^j{}^k{}_k; \\ I_1^{(2)} &= \eta_i{}^i, & I_2^{(2)} &= \eta_i{}^j \eta_j{}^i, & I_3^{(2)} &= \eta_i{}^{ij} \eta_{ij}; \\ I_1^{(3)} &= \frac{\partial\sigma^i{}_i}{\partial\tau}, & I_2^{(3)} &= \frac{\partial\sigma^i{}_i}{\partial\tau} \frac{\partial\sigma^j{}_j}{\partial\tau}, \\ I^{(2,3)} &= \epsilon_{nki} V \sqrt{g} \mu^{nki} \frac{\partial\sigma^i{}_j}{\partial\tau}. \end{aligned} \quad (16)$$

Здесь  $\epsilon_{ijk}$  — символ Леви — Чивита;  $g = \text{Det} \|g_{ij}\|$ ;

$$\begin{aligned} \mu_i{}^{jk} &\equiv \frac{\partial\sigma^{jk}}{\partial x^i} + \sigma^{jk} \Gamma_{li}^j + \sigma^{jl} \Gamma_{li}^k; & \eta_i{}^j &\equiv (\vec{\nabla} \times \hat{\sigma})_i{}^j = V \sqrt{g} \epsilon_{nki} \mu^{nki}; \\ \mu^{nki} &= \mu_m{}^{kj} g^{am}; \end{aligned}$$

$I_i^{(1)}$ ,  $I_i^{(2)}$ ,  $I_i^{(3)}$  — скалярные инварианты тензоров  $\vec{\nabla}\hat{\sigma}$ ,  $\vec{\nabla}\times\hat{\sigma}$  и  $\frac{\partial\hat{\sigma}}{\partial\tau}$  соответственно;  $I^{(2,3)}$  — скалярный инвариант, общий для тензоров  $\vec{\nabla}\hat{\sigma}$  и  $\frac{\partial\hat{\sigma}}{\partial\tau}$ ;  $i_1 = \overline{1, 5}$ ;  $i_2 = \overline{1, 3}$ ;  $i_3 = 1, 2$ .

Отметим, что дальнейшая конкретизация критериев  $W$  и  $W_*$  должна выполняться с учетом специфики решаемых задач оптимизации, вида и характера внешних воздействий, условий существования решений формулируемых экстремальных задач термоупругости.

1. Бурак Я. И., Зозуляк Ю. Д., Гера Б. В. Оптимизация переходных процессов в термоупругих телах. — Киев: Наук. думка, 1984.—160 с.
2. Григолюк Э. И., Бурак Я. И., Кручкович В. Ю., Подстригач Я. С. К определению режимов локальной термообработки цилиндрических оболочек с остаточными напряжениями. — Физ.-хим. механика материалов, 1969, № 3, с. 361—369.
3. Григолюк Э. И., Подстригач Я. С., Бурак Я. И. Оптимизация нагрева оболочек и пластин. — Киев: Наук. думка, 1979.—364 с.
4. Коваленко А. Д. Введение в термоупругость. — Киев: Наук. думка, 1965.—204 с.
5. Підстригач Я. С., Ярема С. Я. Температурні напруження в оболонках. — К.: Вид-во АН УРСР, 1961.—212 с.

Ин-т прикладных проблем  
механики и математики АН УССР,  
Львов

Получено 21.12.83

УДК 539.3

Н. В. Баничук, В. И. Герман, В. В. Кобелев

#### АНАЛИЗ ОПТИМАЛЬНЫХ НЕОДНОРОДНЫХ РАСПРЕДЕЛЕНИЙ АРМИРУЮЩЕГО МАТЕРИАЛА В КОНСТРУКЦИЯХ ИЗ КОМПОЗИТА

Анализ оптимальных неоднородных распределений армирующего материала в конструкциях из композита может быть проведен с использованием различных расчетных схем. По способу введения управляющих функций расчетные схемы в задачах оптимизации делятся на схемы с применением феноменологического подхода и схемы, основанные на